

Réductions
de Voronoi

Jean-Marie
Mirebeau

Réductions
La réduction
de Minkowski
L'algorithme
de Lagrange
L'algorithme
LLL

Seconde
réduction

Application
aux plus
courts
chemins

Première
réduction

Diffusion
anisotrope
Equation
eikonale

Les deux réductions de Voronoi et leur application aux équations aux dérivées partielles

Jean-Marie Mirebeau

University Paris Sud, CNRS, University Paris-Saclay

May 4, 2017

Collège de France, cours de J.-D. Boissonnat

Reductions
de Voronoi

Jean-Marie
Mirebeau

Réductions

La réduction
de Minkowski
L'algorithme
de Lagrange
L'algorithme
LLL

Seconde
réduction

Application
aux plus
courts
chemins

Première
réduction

Diffusion
anisotrope
Equation
eikonale

Pourquoi réduire des formes quadratiques

La réduction de Minkowski

L'algorithme de Lagrange

L'algorithme LLL

La seconde réduction de Voronoi

Application aux plus courts chemins

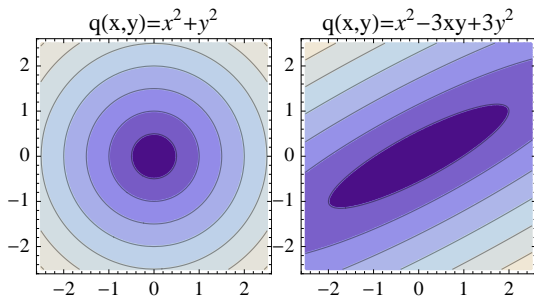
La première réduction de Voronoi

Application à la diffusion anisotrope

Application aux équations eikonales

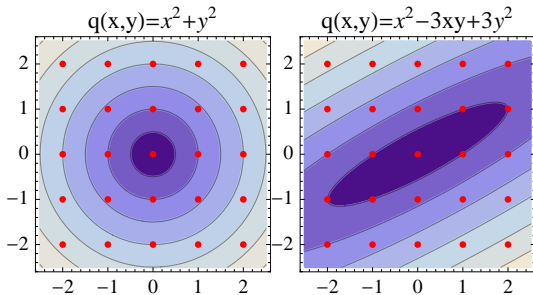
Réseaux et formes quadratiques

- ▶ Une forme quadratique est un polynôme homogène de degré 2, en d variables.
On limite notre attention aux formes définies positives.



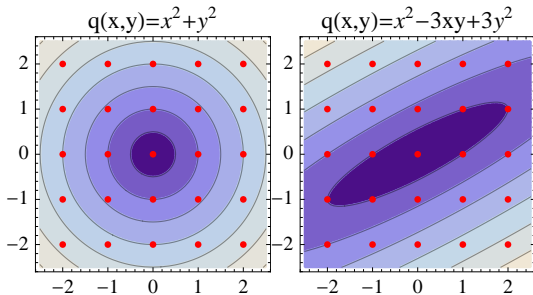
Réseaux et formes quadratiques

- ▶ Une forme quadratique est un polynôme homogène de degré 2, en d variables.
On limite notre attention aux formes définies positives.
- ▶ Un réseau est un sous ensemble de \mathbb{R}^d , discret et stable par addition/soustraction. *On limite notre attention à \mathbb{Z}^d .*



Réseaux et formes quadratiques

- ▶ Une forme quadratique est un polynôme homogène de degré 2, en d variables.
On limite notre attention aux formes définies positives.
- ▶ Un réseau est un sous ensemble de \mathbb{R}^d , discret et stable par addition/soustraction. *On limite notre attention à \mathbb{Z}^d .*



- ▶ Lagrange (1770), étudie $q(x) := x_1^2 + \dots + x_4^2$ sur \mathbb{Z}^4
"Tout entier positif est somme de quatre carrés".

La notation matricielle

- Une forme quadratique sur \mathbb{R}^d

$$q(x) = \sum_{1 \leq i, j \leq d} m_{ij} x_i x_j$$

s'écrit matriciellement

$$q(x) = \mathbf{x}^T M \mathbf{x} \quad \text{où } M = \begin{pmatrix} m_{11} & \cdots & m_{1d} \\ \vdots & \ddots & \vdots \\ m_{d1} & \cdots & m_{dd} \end{pmatrix} \quad \text{et } \mathbf{x} = \begin{pmatrix} x_1 \\ \vdots \\ x_d \end{pmatrix}$$

La notation matricielle

- ▶ Une forme quadratique sur \mathbb{R}^d

$$q(x) = \sum_{1 \leq i, j \leq d} m_{ij} x_i x_j$$

s'écrit matriciellement

$$q(x) = \mathbf{x}^T M \mathbf{x} \quad \text{où } M = \begin{pmatrix} m_{11} & \cdots & m_{1d} \\ \vdots & \ddots & \vdots \\ m_{d1} & \cdots & m_{dd} \end{pmatrix} \quad \text{et } \mathbf{x} = \begin{pmatrix} x_1 \\ \vdots \\ x_d \end{pmatrix}$$

- ▶ On note S_d^{++} l'ensemble des matrices symétriques qui définissent des formes quadratiques définies positives.

La notation matricielle

- ▶ Une forme quadratique sur \mathbb{R}^d

$$q(x) = \sum_{1 \leq i, j \leq d} m_{ij} x_i x_j$$

s'écrit matriciellement

$$q(x) = \mathbf{x}^T M \mathbf{x} \quad \text{où } M = \begin{pmatrix} m_{11} & \cdots & m_{1d} \\ \vdots & \ddots & \vdots \\ m_{d1} & \cdots & m_{dd} \end{pmatrix} \quad \text{et } \mathbf{x} = \begin{pmatrix} x_1 \\ \vdots \\ x_d \end{pmatrix}$$

- ▶ On note S_d^{++} l'ensemble des matrices symétriques qui définissent des formes quadratiques définies positives.
- ▶ On pose $\|\mathbf{x}\|_M := \sqrt{\mathbf{x}^T M \mathbf{x}}$.

$$q(x, y) = x^2 + y^2 \Leftrightarrow M = \begin{pmatrix} 1 & 0 \\ 0 & 1 \end{pmatrix}$$

$$q(x, y) = x^2 - 3xy + 3y^2 \Leftrightarrow M = \begin{pmatrix} 1 & -3/2 \\ -3/2 & 3 \end{pmatrix}$$

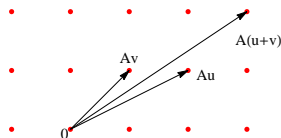
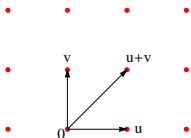
Les changements de coordonnées

- Un changement de linéaire coordonnés dans \mathbb{R}^d s'écrit

$$x'_i = \sum_{j=1}^n a_{ij} x_j,$$

pour tout $1 \leq i \leq d$. Matriciellement

$$x' = Ax, \text{ où } A = \begin{pmatrix} a_{11} & \cdots & a_{1d} \\ \vdots & \ddots & \vdots \\ a_{d1} & \cdots & a_{dd} \end{pmatrix} \text{ et } x = \begin{pmatrix} x_1 \\ \vdots \\ x_d \end{pmatrix}$$



$$A = \begin{pmatrix} 2 & 1 \\ 1 & 1 \end{pmatrix}$$

Réductions

La réduction
de Minkowski
L'algorithme
de Lagrange
L'algorithme
LLL

Seconde réduction

Application
aux plus
courts
chemins

Première réduction

Diffusion
anisotrope
Equation
eikonale

Les changements de coordonnées

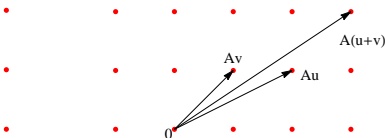
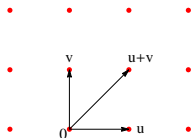
- ▶ Un changement de linéaire coordonnés dans \mathbb{R}^d s'écrit

$$x'_i = \sum_{j=1}^n a_{ij} x_j,$$

pour tout $1 \leq i \leq d$. Matriciellement

$$x' = Ax, \text{ où } A = \begin{pmatrix} a_{11} & \cdots & a_{1d} \\ \vdots & \ddots & \vdots \\ a_{d1} & \cdots & a_{dd} \end{pmatrix} \text{ et } x = \begin{pmatrix} x_1 \\ \vdots \\ x_d \end{pmatrix}$$

- ▶ On note $GL_d(\mathbb{Z})$ l'ensemble des matrices qui induisent une bijection de \mathbb{Z}^d dans lui-même.



$$A = \begin{pmatrix} 2 & 1 \\ 1 & 1 \end{pmatrix}$$

Pourquoi réduire des formes quadratiques

La réduction de Minkowski

L'algorithme de Lagrange

L'algorithme LLL

La seconde réduction de Voronoi

Application aux plus courts chemins

La première réduction de Voronoi

Application à la diffusion anisotrope

Application aux équations eikonales

La réduction de Minkowski.

- ▶ Minkowski associe à $M \in S_d^{++}$ la base $(\mathbf{e}_0, \dots, \mathbf{e}_d)$ de \mathbb{Z}^d telle que:
 - ▶ $(\|\mathbf{e}_1\|_M, \dots, \|\mathbf{e}_d\|_M)$ est minimal, pour l'ordre lexicographique.
 - ▶ $\langle \mathbf{e}_i, \mathbf{e}_{i+1} \rangle_M \geq 0$ pour tout $i < d$.

Réductions

La réduction de Minkowski

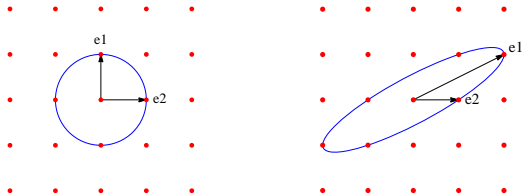
L'algorithme de Lagrange
L'algorithme LLL

Seconde réduction

Application aux plus courts chemins

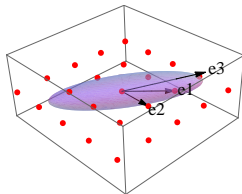
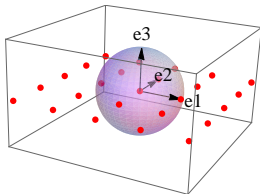
Première réduction

Diffusion anisotrope
Equation eikonale



La réduction de Minkowski.

- ▶ Minkowski associe à $M \in S_d^{++}$ la base $(\mathbf{e}_0, \dots, \mathbf{e}_d)$ de \mathbb{Z}^d telle que:
 - ▶ $(\|\mathbf{e}_1\|_M, \dots, \|\mathbf{e}_d\|_M)$ est minimal, pour l'ordre lexicographique.
 - ▶ $\langle \mathbf{e}_i, \mathbf{e}_{i+1} \rangle_M \geq 0$ pour tout $i < d$.



- ▶ \mathbf{e}_1 est le plus court vecteur non-nul de \mathbb{Z}^d pour $\|\cdot\|_M$. Son calcul est NP-Complet en dimension arbitraire, (van Emde Boas, 1981)

La réduction de Minkowski.

- ▶ Minkowski associe à $M \in S_d^{++}$ la base $(\mathbf{e}_0, \dots, \mathbf{e}_d)$ de \mathbb{Z}^d telle que:
 - ▶ $(\|\mathbf{e}_1\|_M, \dots, \|\mathbf{e}_d\|_M)$ est minimal, pour l'ordre lexicographique.
 - ▶ $\langle \mathbf{e}_i, \mathbf{e}_{i+1} \rangle_M \geq 0$ pour tout $i < d$.

Réductions

La réduction de Minkowski

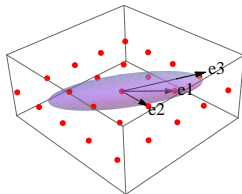
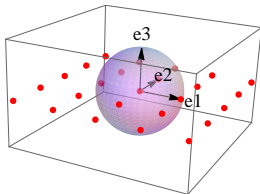
L'algorithme
de Lagrange
L'algorithme
LLL

Seconde réduction

Application
aux plus
courts
chemins

Première réduction

Diffusion
anisotrope
Equation
eikonale



- ▶ \mathbf{e}_1 est le plus court vecteur non-nul de \mathbb{Z}^d pour $\|\cdot\|_M$. Son calcul est NP-Complet en dimension arbitraire, (van Emde Boas, 1981)
- ▶ Cette base, dite M -réduite, est génériquement unique à un changement global de signe près.

- On note \mathcal{M}_d^+ l'ensemble des $M \in S_d^{++}$ pour lesquelles la base canonique est réduite au sens de Minkowski.

Theorem (Minkowski, 1905)

L'ensemble $\overline{\mathcal{M}_d^+}$ est un cône polyédral. De plus, pour toute $M \in S_d^{++}$, il existe $A \in GL_d(\mathbb{Z})$ telle que $(A^{-1})^T M A^{-1} \in \mathcal{M}_d^+$.

- ▶ On note \mathcal{M}_d^+ l'ensemble des $M \in S_d^{++}$ pour lesquelles la base canonique est réduite au sens de Minkowski.

Theorem (Minkowski, 1905)

L'ensemble $\overline{\mathcal{M}_d^+}$ est un cône polyédral. De plus, pour toute $M \in S_d^{++}$, il existe $A \in GL_d(\mathbb{Z})$ telle que $(A^{-1})^T M A^{-1} \in \mathcal{M}_d^+$.

- ▶ $A = A(M)$ est la matrice de colonnes la base M -réduite.

Le domaine fondamental

Réductions

La réduction de Minkowski

L'algorithme
de Lagrange
L'algorithme
LLL

Seconde réduction

Application
aux plus
courts
chemins

Première réduction

Diffusion
anisotrope
Equation
eikonale

- ▶ On note \mathcal{M}_d^+ l'ensemble des $M \in S_d^{++}$ pour lesquelles la base canonique est réduite au sens de Minkowski.

Theorem (Minkowski, 1905)

L'ensemble $\overline{\mathcal{M}_d^+}$ est un cône polyédral. De plus, pour toute $M \in S_d^{++}$, il existe $A \in GL_d(\mathbb{Z})$ telle que $(A^{-1})^T M A^{-1} \in \mathcal{M}_d^+$.

- ▶ $A = A(M)$ est la matrice de colonnes la base M -réduite.
- ▶ Les inégalités linéaires minimales caractérisant \mathcal{M}_d^+ sont établies par Minkowski en dimension $d \leq 6$,

Le domaine fondamental

Réductions

La réduction de Minkowski

L'algorithme
de Lagrange
L'algorithme
LLL

Seconde réduction

Application
aux plus
courts
chemins

Première réduction

Diffusion
anisotrope
Equation
eikonale

- ▶ On note \mathcal{M}_d^+ l'ensemble des $M \in S_d^{++}$ pour lesquelles la base canonique est réduite au sens de Minkowski.

Theorem (Minkowski, 1905)

L'ensemble $\overline{\mathcal{M}_d^+}$ est un cône polyédral. De plus, pour toute $M \in S_d^{++}$, il existe $A \in GL_d(\mathbb{Z})$ telle que $(A^{-1})^T M A^{-1} \in \mathcal{M}_d^+$.

- ▶ $A = A(M)$ est la matrice de colonnes la base M -réduite.
- ▶ Les inégalités linéaires minimales caractérisant \mathcal{M}_d^+ sont établies par Minkowski en dimension $d \leq 6$, puis étendues pour $d = 7$ (Tammela, 1977).

- ▶ On note \mathcal{M}_d^+ l'ensemble des $M \in S_d^{++}$ pour lesquelles la base canonique est réduite au sens de Minkowski.

Theorem (Minkowski, 1905)

L'ensemble $\overline{\mathcal{M}_d^+}$ est un cône polyédral. De plus, pour toute $M \in S_d^{++}$, il existe $A \in GL_d(\mathbb{Z})$ telle que $(A^{-1})^T M A^{-1} \in \mathcal{M}_d^+$.

- ▶ $A = A(M)$ est la matrice de colonnes la base M -réduite.
- ▶ Les inégalités linéaires minimales caractérisant \mathcal{M}_d^+ sont établies par Minkowski en dimension $d \leq 6$, puis étendues pour $d = 7$ (Tammela, 1977). Les rayons extrémaux du cône \mathcal{M}_d^+ sont connus pour $d \leq 5$. (Schurmann, 2009)

► Considérons $M \in \mathcal{M}_2^+$, $M = \begin{pmatrix} a & b \\ b & c \end{pmatrix}$. Alors

$$\begin{aligned} \|\mathbf{e}_1\|_M \leq \|\mathbf{e}_2\|_M &\Rightarrow 0 \leq a \leq c, \\ &\geq \|\mathbf{e}_2\|_M \end{aligned}$$

► Considérons $M \in \mathcal{M}_2^+$, $M = \begin{pmatrix} a & b \\ b & c \end{pmatrix}$. Alors

$$\|\mathbf{e}_1\|_M \leq \|\mathbf{e}_2\|_M \quad \Rightarrow \quad 0 \leq a \leq c,$$

$$\forall k \in \mathbb{Z}, \|\mathbf{e}_2 + k\mathbf{e}_1\|_M \geq \|\mathbf{e}_2\|_M$$

► Considérons $M \in \mathcal{M}_2^+$, $M = \begin{pmatrix} a & b \\ b & c \end{pmatrix}$. Alors

$$\|\mathbf{e}_1\|_M \leq \|\mathbf{e}_2\|_M \Rightarrow 0 \leq a \leq c,$$

$$\|\mathbf{e}_2 - \mathbf{e}_1\|_M \geq \|\mathbf{e}_2\|_M \Rightarrow 2b \leq a,$$

► Considérons $M \in \mathcal{M}_2^+$, $M = \begin{pmatrix} a & b \\ b & c \end{pmatrix}$. Alors

$$\|\mathbf{e}_1\|_M \leq \|\mathbf{e}_2\|_M \Rightarrow 0 \leq a \leq c,$$

$$\|\mathbf{e}_2 - \mathbf{e}_1\|_M \geq \|\mathbf{e}_2\|_M \Rightarrow 2b \leq a,$$

$$\langle \mathbf{e}_1, \mathbf{e}_2 \rangle_M \geq 0 \Rightarrow b \geq 0.$$

Les inégalités de droite caractérisent $\overline{\mathcal{M}_2^+}$.

- Considérons $M \in \mathcal{M}_2^+$, $M = \begin{pmatrix} a & b \\ b & c \end{pmatrix}$. Alors

$$\|\mathbf{e}_1\|_M \leq \|\mathbf{e}_2\|_M \Rightarrow 0 \leq a \leq c,$$

$$\|\mathbf{e}_2 - \mathbf{e}_1\|_M \geq \|\mathbf{e}_2\|_M \Rightarrow 2b \leq a,$$

$$\langle \mathbf{e}_1, \mathbf{e}_2 \rangle_M \geq 0 \Rightarrow b \geq 0.$$

Les inégalités de droite caractérisent $\overline{\mathcal{M}_2^+}$.

- Question: quels entiers s'écrivent

$$149x^2 + 2 \times 44xy + 13y^2.$$

- Considérons $M \in \mathcal{M}_2^+$, $M = \begin{pmatrix} a & b \\ b & c \end{pmatrix}$. Alors

$$\|\mathbf{e}_1\|_M \leq \|\mathbf{e}_2\|_M \Rightarrow 0 \leq a \leq c,$$

$$\|\mathbf{e}_2 - \mathbf{e}_1\|_M \geq \|\mathbf{e}_2\|_M \Rightarrow 2b \leq a,$$

$$\langle \mathbf{e}_1, \mathbf{e}_2 \rangle_M \geq 0 \Rightarrow b \geq 0.$$

Les inégalités de droite caractérisent $\overline{\mathcal{M}_2^+}$.

- Question: quels entiers s'écrivent

$$149x^2 + 2 \times 44xy + 13y^2.$$

Réponse: par changement de coordonnées dans \mathbb{Z}^2 , ces nombres s'écrivent $ax^2 + 2bxy + cy^2$, où a, b, c satisfont aux conditions précédentes et

$$ac - b^2 = 1 = 149 * 13 - 44^2.$$

- Considérons $M \in \mathcal{M}_2^+$, $M = \begin{pmatrix} a & b \\ b & c \end{pmatrix}$. Alors

$$\|\mathbf{e}_1\|_M \leq \|\mathbf{e}_2\|_M \Rightarrow 0 \leq a \leq c,$$

$$\|\mathbf{e}_2 - \mathbf{e}_1\|_M \geq \|\mathbf{e}_2\|_M \Rightarrow 2b \leq a,$$

$$\langle \mathbf{e}_1, \mathbf{e}_2 \rangle_M \geq 0 \Rightarrow b \geq 0.$$

Les inégalités de droite caractérisent $\overline{\mathcal{M}_2^+}$.

- Question: quels entiers s'écrivent

$$149x^2 + 2 \times 44xy + 13y^2.$$

Réponse: par changement de coordonnées dans \mathbb{Z}^2 , ces nombres s'écrivent $ax^2 + 2bxy + cy^2$, où a, b, c satisfont aux conditions précédentes et

$$ac - b^2 = 1 = 149 * 13 - 44^2.$$

Ainsi $a = c = 1$, $b = 0$, et ces nombres sont les sommes de deux carrés

$$x^2 + y^2.$$

Reductions
de Voronoi

Jean-Marie
Mirebeau

Table 1

Δ	positive reduced forms			
1	$\begin{pmatrix} 1 & 0 \\ 0 & 1 \end{pmatrix}$			
2	$\begin{pmatrix} 1 & 0 \\ 0 & 2 \end{pmatrix}$			
3	$\begin{pmatrix} 1 & 0 \\ 0 & 3 \end{pmatrix}$	$\begin{pmatrix} 2 & 1 \\ 1 & 2 \end{pmatrix}$		
4	$\begin{pmatrix} 1 & 0 \\ 0 & 4 \end{pmatrix}$	$\begin{pmatrix} 2 & 0 \\ 0 & 2 \end{pmatrix}$		
5	$\begin{pmatrix} 1 & 0 \\ 0 & 5 \end{pmatrix}$	$\begin{pmatrix} 2 & 1 \\ 1 & 3 \end{pmatrix}$		
6	$\begin{pmatrix} 1 & 0 \\ 0 & 6 \end{pmatrix}$	$\begin{pmatrix} 2 & 0 \\ 0 & 3 \end{pmatrix}$		
7	$\begin{pmatrix} 1 & 0 \\ 0 & 7 \end{pmatrix}$	$\begin{pmatrix} 2 & 1 \\ 1 & 4 \end{pmatrix}$		
8	$\begin{pmatrix} 1 & 0 \\ 0 & 8 \end{pmatrix}$	$\begin{pmatrix} 2 & 0 \\ 0 & 4 \end{pmatrix}$	$\begin{pmatrix} 3 & 1 \\ 1 & 3 \end{pmatrix}$	
9	$\begin{pmatrix} 1 & 0 \\ 0 & 9 \end{pmatrix}$	$\begin{pmatrix} 2 & 1 \\ 1 & 5 \end{pmatrix}$	$\begin{pmatrix} 3 & 0 \\ 0 & 3 \end{pmatrix}$	
10	$\begin{pmatrix} 1 & 0 \\ 0 & 10 \end{pmatrix}$	$\begin{pmatrix} 2 & 0 \\ 0 & 5 \end{pmatrix}$		
11	$\begin{pmatrix} 1 & 0 \\ 0 & 11 \end{pmatrix}$	$\begin{pmatrix} 2 & 1 \\ 1 & 6 \end{pmatrix}$	$\begin{pmatrix} 3 & 1 \\ 1 & 4 \end{pmatrix}$	$\begin{pmatrix} 3 & -1 \\ -1 & 4 \end{pmatrix}$
12	$\begin{pmatrix} 1 & 0 \\ 0 & 12 \end{pmatrix}$	$\begin{pmatrix} 2 & 0 \\ 0 & 6 \end{pmatrix}$	$\begin{pmatrix} 3 & 0 \\ 0 & 4 \end{pmatrix}$	$\begin{pmatrix} 4 & 2 \\ 2 & 4 \end{pmatrix}$

Réductions

La réduction
de Minkowski

L'algorithme
de Lagrange
L'algorithme
LLL

Seconde
réduction

Application
aux plus
courts
chemins

Première
réduction

Diffusion
anisotrope
Equation
eikonale

Figure: Formes quadratiques positives à coefficients entiers, appartenant au domaine fondamental \mathcal{M}_2^+ , classées par déterminant. (Lagrange, 1775)

Reductions
de Voronoi

Jean-Marie
Mirebeau

Réductions

La réduction
de Minkowski

L'algorithme
de Lagrange

L'algorithme
LLL

Seconde
réduction

Application
aux plus
courts
chemins

Première
réduction

Diffusion
anisotrope
Equation
eikonale

Pourquoi réduire des formes quadratiques

La réduction de Minkowski

L'algorithme de Lagrange

L'algorithme LLL

La seconde réduction de Voronoi

Application aux plus courts chemins

La première réduction de Voronoi

Application à la diffusion anisotrope

Application aux équations eikonales

Reductions
de Voronoi

Jean-Marie
Mirebeau

Réductions

La réduction
de Minkowski

L'algorithme
de Lagrange

L'algorithme
LLL

Seconde
réduction

Application
aux plus
courts
chemins

Première
réduction

Diffusion
anisotrope
Equation
eikonale

Algorithme d'Euclide de calcul du pgcd

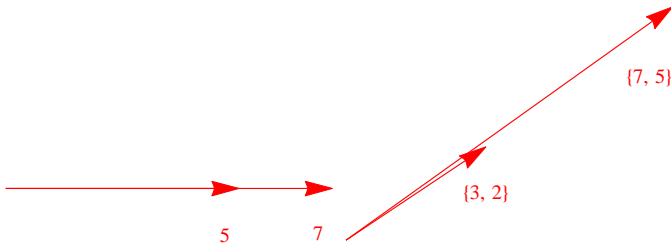
Input: $a, b \in \mathbb{Z}$

While $ab \neq 0$ **do**

 Réordonner de sorte que $|a| \leq |b|$

 Soustraire à b le plus proche multiple de a .

$$b \leftarrow b - \text{Round}(b/a)a.$$



Algorithme d'Euclide de calcul du pgcd

Input: $a, b \in \mathbb{Z}$

While $ab \neq 0$ **do**

Réordonner de sorte que $|a| \leq |b|$

Soustraire à b le plus proche multiple de a .

$$b \leftarrow b - \text{Round} \left(\frac{\langle a, b \rangle}{\|a\|^2} \right) a.$$

Réductions

La réduction
de Minkowski

L'algorithme
de Lagrange

L'algorithme
LLL

Seconde réduction

Application
aux plus
courts
chemins

Première réduction

Diffusion
anisotrope
Equation
eikonale

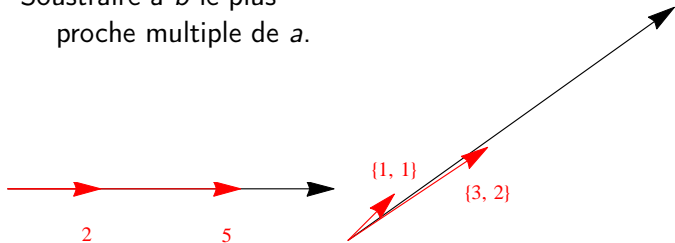
Algorithme de Lagrange de calcul d'une base réduite

Input: $a, b \in \mathbb{R}^2$, $\|a\| \geq \|b\|$

Until $\|a\| \|b\|$ stabilizes **do**

Réordonner de sorte que $\|a\| \leq \|b\|$

Soustraire à b le plus
proche multiple de a .



Algorithme d'Euclide de calcul du pgcd

Input: $a, b \in \mathbb{Z}$

While $ab \neq 0$ **do**

Réordonner de sorte que $|a| \leq |b|$

Soustraire à b le plus proche multiple de a .

$$b \leftarrow b - \text{Round} \left(\frac{\langle a, b \rangle}{\|a\|^2} \right) a.$$

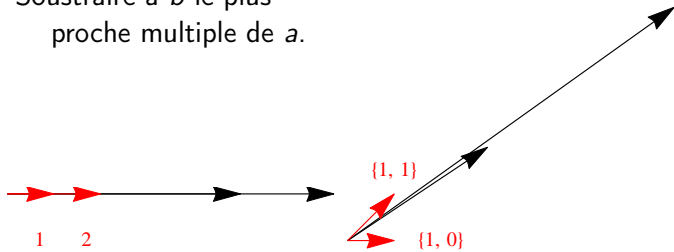
Algorithme de Lagrange de calcul d'une base réduite

Input: $a, b \in \mathbb{R}^2$, $\|a\| \geq \|b\|$

Until $\|a\| \|b\|$ stabilizes **do**

Réordonner de sorte que $\|a\| \leq \|b\|$

Soustraire à b le plus
proche multiple de a .



Algorithme d'Euclide de calcul du pgcd

Input: $a, b \in \mathbb{Z}$

While $ab \neq 0$ **do**

 Réordonner de sorte que $|a| \leq |b|$

 Soustraire à b le plus proche multiple de a .

$$b \leftarrow b - \text{Round} \left(\frac{\langle a, b \rangle}{\|a\|^2} \right) a.$$

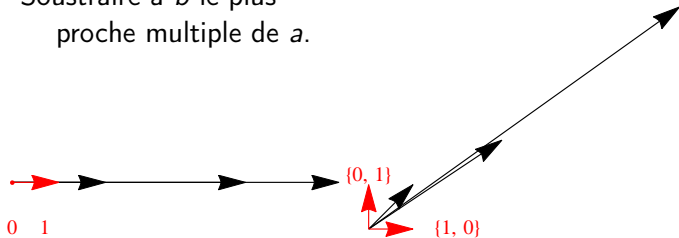
Algorithme de Lagrange de calcul d'une base réduite

Input: $a, b \in \mathbb{R}^2$, $\|a\| \geq \|b\|$

Until $\|a\| \|b\|$ stabilizes **do**

 Réordonner de sorte que $\|a\| \leq \|b\|$

 Soustraire à b le plus
 proche multiple de a .



Base réduite vis-a-vis de $M \in S_2^{++}$

Initialization: $\mathbf{e}_1 = (1, 0)$, $\mathbf{e}_2 = (0, 1)$

Until $\|\mathbf{e}_1\|_M \|\mathbf{e}_2\|_M$ stabilizes **do**

Réordonner de sorte que $\|\mathbf{e}_1\|_M \leq \|\mathbf{e}_2\|_M$

Soustraire à \mathbf{e}_2 le plus proche multiple de \mathbf{e}_1 .

$$\mathbf{e}_2 \leftarrow \mathbf{e}_2 - \text{Round} \left(\frac{\langle \mathbf{e}_1, \mathbf{e}_2 \rangle_M}{\|\mathbf{e}_1\|_M^2} \right) \mathbf{e}_1.$$

Base réduite vis-a-vis de $M \in S_2^{++}$

Initialization: $\mathbf{e}_1 = (1, 0)$, $\mathbf{e}_2 = (0, 1)$

Until $\|\mathbf{e}_1\|_M \|\mathbf{e}_2\|_M$ stabilizes **do**

 Réordonner de sorte que $\|\mathbf{e}_1\|_M \leq \|\mathbf{e}_2\|_M$

 Soustraire à \mathbf{e}_2 le plus proche multiple de \mathbf{e}_1 .

$$\mathbf{e}_2 \leftarrow \mathbf{e}_2 - \text{Round} \left(\frac{\langle \mathbf{e}_1, \mathbf{e}_2 \rangle_M}{\|\mathbf{e}_1\|_M^2} \right) \mathbf{e}_1.$$

Vitesse de convergence

le produit $\|\mathbf{e}_1\|_M \|\mathbf{e}_2\|_M$ décroît d'un facteur $\sqrt{3}$ à chaque itération. (Sauf la peut-être la première et la dernière.)

Base réduite vis-a-vis de $M \in S_2^{++}$

Initialization: $\mathbf{e}_1 = (1, 0)$, $\mathbf{e}_2 = (0, 1)$

Until $\|\mathbf{e}_1\|_M \|\mathbf{e}_2\|_M$ stabilizes **do**

Réordonner de sorte que $\|\mathbf{e}_1\|_M \leq \|\mathbf{e}_2\|_M$

Soustraire à \mathbf{e}_2 le plus proche multiple de \mathbf{e}_1 .

$$\mathbf{e}_2 \leftarrow \mathbf{e}_2 - \text{Round} \left(\frac{\langle \mathbf{e}_1, \mathbf{e}_2 \rangle_M}{\|\mathbf{e}_1\|_M^2} \right) \mathbf{e}_1.$$

Vitesse de convergence

le produit $\|\mathbf{e}_1\|_M \|\mathbf{e}_2\|_M$ décroît d'un facteur $\sqrt{3}$ à chaque itération. (Sauf la peut-être la première et la dernière.)

Généralisation à $M \in S_d^{++}$, en dimension $d > 2$

Heuristique: initialiser $(\mathbf{e}_1, \dots, \mathbf{e}_d)$ puis, itérativement

Ré-ordonner par normes croissantes $\|\mathbf{e}_1\|_M \leq \dots \leq \|\mathbf{e}_d\|_M$.

Soustraire à chaque \mathbf{e}_i , $2 \leq i \leq d$, la plus proche combinaison linéaire entière des $\{\mathbf{e}_j; j < i\}$.

Résultats: $d = 3$ (Semaev, 2001), $d = 4$ (Nguyen, Stelhé, 2004)

Réductions

La réduction
de Minkowski

L'algorithme
de Lagrange

**L'algorithme
LLL**

Seconde
réduction

Application
aux plus
courts
chemins

Première
réduction

Diffusion
anisotrope
Equation
eikonale

Pourquoi réduire des formes quadratiques

La réduction de Minkowski

L'algorithme de Lagrange

L'algorithme LLL

La seconde réduction de Voronoi

Application aux plus courts chemins

La première réduction de Voronoi

Application à la diffusion anisotrope

Application aux équations eikonales

L'algorithme de Lenstra-Lenstra-Lovasz, 1982

Heuristique: initialiser $(\mathbf{e}_1, \dots, \mathbf{e}_d)$ puis, itérativement

Ré-ordonner par normes croissantes.

Soustraire à \mathbf{e}_i le plus proche multiple de \mathbf{e}_{i-1} , $2 \leq i \leq d$.

- ▶ Critère de terminaison souple \Rightarrow complexité polynomiale.
- ▶ Ne calcule pas la base réduite de Minkowski, mais une "bonne base" ayant des garanties d'orthogonalité.
- ▶ Utilisé pour déterminer le plus petits élément d'un réseau, ou le plus proche élément d'un point donné.
- ▶ Factorisation (de polynômes, d'entiers), attaques cryptographiques.

RSA-768 =

1230186684530117755130494958384962720 7728535695953347921973224521517264005
0726365751874520219978646938995647494 2774063845925192557326303453731548268
5079170261221429134616704292143116022 2124047927473779408066535141959745985
6902143413 =

3347807169895689878604416984821269081 7704794983713768568912431388982883793
878002287614711652531743087737814467999489 × 3674604366679959042824463379962795263
2279158164343087642676032283815739666 511279233373417143396810270092798736308917

Le problème du sac à dos

Etant donnés $a_1, \dots, a_n \in \mathbb{N}$, et $a \in \mathbb{N}$, trouver:

$$\varepsilon_1, \dots, \varepsilon_n \in \{0, 1\}, \text{ tels que } a_1\varepsilon_1 + \dots + a_n\varepsilon_n = a.$$

Réductions

La réduction
de Minkowski
L'algorithme
de Lagrange
L'algorithme
LLL

Seconde réduction

Application
aux plus
courts
chemins

Première réduction

Diffusion
anisotrope
Equation
eikonale

- ▶ NP-Complet en général.
- ▶ Instances utilisées en cryptographie par Merkle, Hellman, 1978. (Seule alternative au RSA à l'époque.)
- ▶ On peut appliquer l'Algorithme LLL pour trouver:

$$\varepsilon_1, \dots, \varepsilon_n \in \mathbb{Z} \text{ tels que } (a_1\varepsilon_1 + \dots + a_n\varepsilon_n, \varepsilon_1, \dots, \varepsilon_n) \\ \text{est proche de } (a, 1/2, \dots, 1/2).$$

La solution est "souvent" la même que celle du problème original, ce qui met en défaut le code cryptographique.

Reductions
de Voronoi

Jean-Marie
Mirebeau

Réductions

La réduction
de Minkowski
L'algorithme
de Lagrange
L'algorithme
LLL

Seconde
réduction

Application
aux plus
courts
chemins

Première
réduction

Diffusion
anisotrope
Equation
eikonale

Pourquoi réduire des formes quadratiques

La réduction de Minkowski

L'algorithme de Lagrange

L'algorithme LLL

La seconde réduction de Voronoi

Application aux plus courts chemins

La première réduction de Voronoi

Application à la diffusion anisotrope

Application aux équations eikonales

Reductions de Voronoi

Jean-Marie Mirebeau

Seconde réduction de Voronoi de $M \in S_d^{++}$

C'est la triangulation de Delaunay \mathcal{T}_M de \mathbb{Z}^d vis-à-vis de $\|\cdot\|_M$.

Réductions

La réduction de Minkowski

L'algorithme de Lagrange

L'algorithme LLL

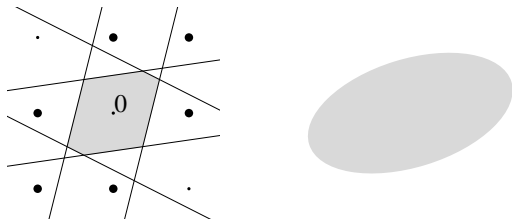
Seconde réduction

Application aux plus courts chemins

Première réduction

Diffusion anisotrope

Equation eikonale



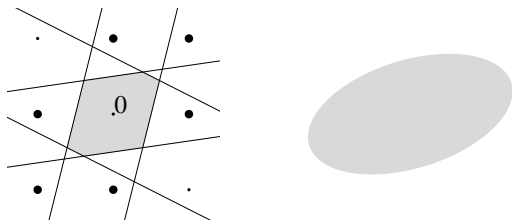
Dimension	1	2	3	4	5
# Triangulations inéquivalentes	1	1	1	3	222

Seconde réduction de Voronoi de $M \in S_d^{++}$

C'est la triangulation de Delaunay \mathcal{T}_M de \mathbb{Z}^d vis-à-vis de $\|\cdot\|_M$.
 $\mathbf{e}_1, \dots, \mathbf{e}_k \in \mathbb{Z}^d$ sont les sommets d'une facette ssi

$$\text{Vor}_M(\mathbf{e}_1) \cap \dots \cap \text{Vor}_M(\mathbf{e}_k) \neq \emptyset,$$

où $\text{Vor}_M(\mathbf{e}) := \{\mathbf{p} \in \mathbb{R}^d; \forall \mathbf{e}' \in \mathbb{Z}^d, \|\mathbf{p} - \mathbf{e}\|_M \leq \|\mathbf{p} - \mathbf{e}'\|_M\}$.



Dimension	1	2	3	4	5
# Triangulations inéquivalentes	1	1	1	3	222

Qu'est ce qu'une réduction ?

- ▶ Une réduction, de l'ensemble S_d^{++} sous l'action de $GL_d(\mathbb{Z})$, est un procédé permettant d'écrire chaque $M \in S_d^{++}$

$$M = A \cdot N, \quad \text{où } A \cdot N := (A^{-1})^T N (A^{-1}).$$

Ici $A \in GL_d(\mathbb{Z})$, et N est (génériquement) unique et appartient à un domaine fondamental.

Qu'est ce qu'une réduction ?

- ▶ Une réduction, de l'ensemble S_d^{++} sous l'action de $GL_d(\mathbb{Z})$, est un procédé permettant d'écrire chaque $M \in S_d^{++}$

$$M = A \cdot N, \quad \text{où } A \cdot N := (A^{-1})^T N (A^{-1}).$$

Ici $A \in GL_d(\mathbb{Z})$, et N est (génériquement) unique et appartient à un domaine fondamental.

- ▶ En pratique, on construit une application $\rho : S_d^{++} \rightarrow X$, compatible avec l'action de $GL_d(\mathbb{Z})$

$$\rho(A \cdot M) = A \cdot \rho(M).$$

Puis on hérite une réduction sur S_d^{++} de celle associée à X .

Qu'est ce qu'une réduction ?

- ▶ Une réduction, de l'ensemble S_d^{++} sous l'action de $GL_d(\mathbb{Z})$, est un procédé permettant d'écrire chaque $M \in S_d^{++}$

$$M = A \cdot N, \quad \text{où } A \cdot N := (A^{-1})^T N (A^{-1}).$$

Ici $A \in GL_d(\mathbb{Z})$, et N est (génériquement) unique et appartient à un domaine fondamental.

- ▶ En pratique, on construit une application $\rho : S_d^{++} \rightarrow X$, compatible avec l'action de $GL_d(\mathbb{Z})$

$$\rho(A \cdot M) = A \cdot \rho(M).$$

Puis on hérite une réduction sur S_d^{++} de celle associée à X .

- ▶ Minkowski: X est l'ensemble des bases de \mathbb{Z}^d .
- ▶ Voronoi 2: X est un ensemble de triangulations.
- ▶ Voronoi 1: X est un sous-ensemble discret de S_d^{++} .

Proposition (Une propriété géométrique de \mathcal{T}_M , $M \in S_d^{++}$)

Soient $\mathbf{e}_0, \mathbf{e}_1, \mathbf{e}_2$ les sommets d'un triangle de \mathcal{T}_M . Alors

$$\langle \mathbf{e}_2 - \mathbf{e}_0, \mathbf{e}_2 - \mathbf{e}_1 \rangle_M \geq 0.$$

Réductions

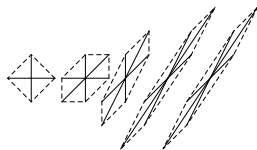
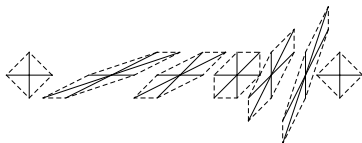
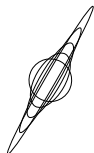
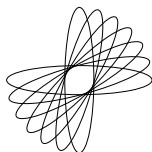
La réduction
de Minkowski
L'algorithme
de Lagrange
L'algorithme
LLL

Seconde réduction

Application
aux plus
courts
chemins

Première réduction

Diffusion
anisotrope
Equation
eikonale



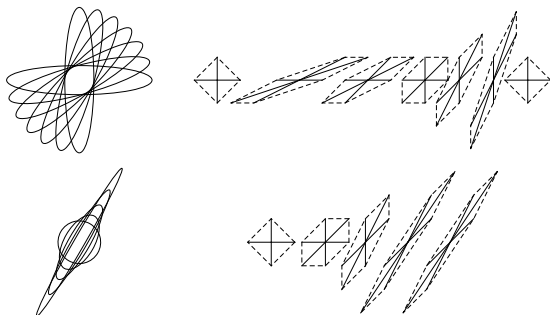
Proposition (Une propriété géométrique de \mathcal{T}_M , $M \in S_d^{++}$)

Soient $\mathbf{e}_0, \mathbf{e}_1, \mathbf{e}_2$ les sommets d'un triangle de \mathcal{T}_M . Alors

$$\langle \mathbf{e}_2 - \mathbf{e}_0, \mathbf{e}_2 - \mathbf{e}_1 \rangle_M \geq 0.$$

Preuve: Soit $\mathbf{p} \in \text{Vor}_M(\mathbf{e}_0) \cap \text{Vor}_M(\mathbf{e}_1) \cap \text{Vor}_M(\mathbf{e}_2)$. Alors

$\|\mathbf{p} - \mathbf{e}_0\|_M^2 - \|\mathbf{p} - \mathbf{e}_1\|_M^2 - \|\mathbf{p} - \mathbf{e}_2\|_M^2 + \|\mathbf{p} - (\mathbf{e}_1 + \mathbf{e}_2 - \mathbf{e}_0)\|_M^2$
est positif, par déf. de Vor_M , et égal à $\langle \mathbf{e}_2 - \mathbf{e}_0, \mathbf{e}_2 - \mathbf{e}_1 \rangle_M$.



Proposition (Une propriété géométrique de \mathcal{T}_M , $M \in S_d^{++}$)

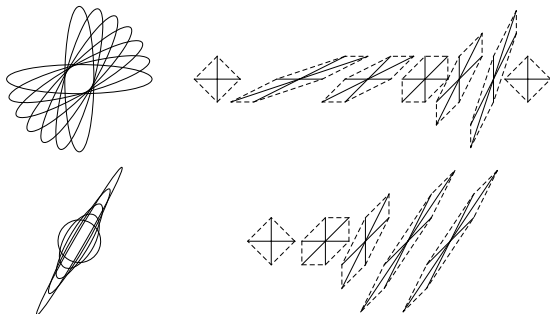
Soient $\mathbf{e}_0, \mathbf{e}_1, \mathbf{e}_2$ les sommets d'un triangle de \mathcal{T}_M . Alors

$$\langle \mathbf{e}_2 - \mathbf{e}_0, \mathbf{e}_2 - \mathbf{e}_1 \rangle_M \geq 0.$$

Preuve: Soit $\mathbf{p} \in \text{Vor}_M(\mathbf{e}_0) \cap \text{Vor}_M(\mathbf{e}_1) \cap \text{Vor}_M(\mathbf{e}_2)$. Alors

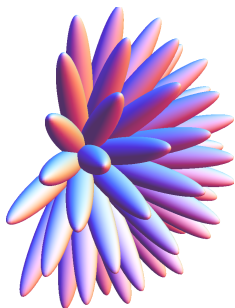
$\|\mathbf{p} - \mathbf{e}_0\|_M^2 - \|\mathbf{p} - \mathbf{e}_1\|_M^2 - \|\mathbf{p} - \mathbf{e}_2\|_M^2 + \|\mathbf{p} - (\mathbf{e}_1 + \mathbf{e}_2 - \mathbf{e}_0)\|_M^2$
est positif, par déf. de Vor_M , et égal à $\langle \mathbf{e}_2 - \mathbf{e}_0, \mathbf{e}_2 - \mathbf{e}_1 \rangle_M$.

- Utilise la stabilité additive de \mathbb{Z}^d .



Reductions
de Voronoi

Jean-Marie
Mirebeau



Réductions

La réduction
de Minkowski
L'algorithme
de Lagrange
L'algorithme
LLL

Seconde
réduction

Application
aux plus
courts
chemins

Première
réduction

Diffusion
anisotrope
Equation
eikonale

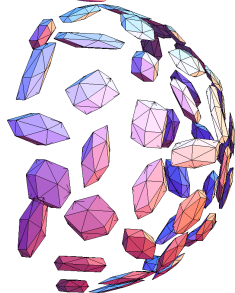
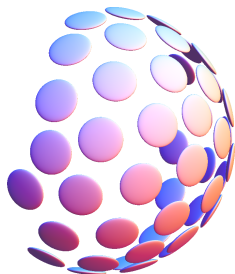
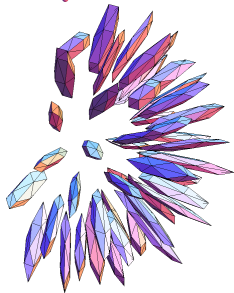


Figure: Boule unité de M , et voisinage de l'origine dans \mathcal{T}_M .

Réductions
de Voronoi

Jean-Marie
Mirebeau

Réductions

La réduction
de Minkowski
L'algorithme
de Lagrange
L'algorithme
LLL

Seconde
réduction

**Application
aux plus
courts
chemins**

Première
réduction

Diffusion
anisotrope
Equation
eikonale

Pourquoi réduire des formes quadratiques

La réduction de Minkowski

L'algorithme de Lagrange

L'algorithme LLL

La seconde réduction de Voronoi

Application aux plus courts chemins

La première réduction de Voronoi

Application à la diffusion anisotrope

Application aux équations eikonales

- ▶ Soit $X \subseteq \mathbb{R}^d$ un ensemble fini, $\partial X \subseteq X$.
- ▶ Soit pour tout $\mathbf{x} \in X \setminus \partial X$, $V(\mathbf{x}) \subseteq X$ un ensemble de voisins. Soit $V[\mathbf{x}] := \{\mathbf{y} \in X; \mathbf{x} \in V(\mathbf{y})\}$.
- ▶ Objectif: trouver $u : X \rightarrow \mathbb{R}$, nulle sur ∂X , satisfaisant

$$\forall \mathbf{x} \in X \setminus \partial X, u(\mathbf{x}) = \Lambda u(\mathbf{x}) := \min_{\mathbf{y} \in V(\mathbf{x})} \|\mathbf{x} - \mathbf{y}\| + u(\mathbf{y}).$$

Initialiser $u : X \rightarrow \mathbb{R}$ to 0 on ∂X , $+\infty$ elsewhere.
accepté : $X \rightarrow \{\text{true}, \text{false}\}$ to *false*.

Tant que il reste un point non accepté

Trouver le point non-accepté $\mathbf{x} \in X$ minimisant u .

Marquer \mathbf{x} comme accepté.

Pout tout $\mathbf{y} \in V[\mathbf{x}]$, $u(\mathbf{y}) \leftarrow \Lambda u(\mathbf{y})$.

Programmation dynamique/Fast-Marching.

- ▶ Dijkstra calcule le point fixe de l'opérateur Λ , qui est la distance à ∂X sur le graphe (X, V) .
- ▶ La programmation dynamique/Fast-Marching appliquent Dijkstra à un opérateur Λ et voisinage V modifiés.

Programmation dynamique/Fast-Marching.

- ▶ Dijkstra calcule le point fixe de l'opérateur Λ , qui est la distance à ∂X sur le graphe (X, V) .
- ▶ La programmation dynamique/Fast-Marching appliquent Dijkstra à un opérateur Λ et voisinage V modifiés.

Propriétés requises de l'opérateur Λ

- ▶ Monotonie: $\forall u, v : X \rightarrow \mathbb{R}$

$$u \leq v \Rightarrow \Lambda u \leq \Lambda v.$$

- ▶ Causalité: $\forall u, v : X \rightarrow \mathbb{R}$

$$u^{<\lambda} = v^{<\lambda} \Rightarrow (\Lambda u)^{\leq \lambda} = (\Lambda v)^{\leq \lambda},$$

où l'on a noté

$$u^{<\lambda}(x) = \begin{cases} u(x) & \text{si } u(x) < \lambda, \\ +\infty & \text{sinon.} \end{cases}$$

Schéma semi-Lagrangien pour une distance Riemannienne

- ▶ Soit $\Omega \subseteq \mathbb{R}^d$ un domaine, échantillonné par X , et $M : \Omega \rightarrow S_d^{++}$ une métrique Riemannienne.
- ▶ Soit $V(\mathbf{x})$ un polytope ayant ses sommets dans X , et $I_{V(\mathbf{x})}$ l'interpolation linéaire. Posons

$$\Lambda u(\mathbf{x}) := \min_{\mathbf{y} \in V(\mathbf{x})} \|\mathbf{x} - \mathbf{y}\|_{M(\mathbf{x})} + I_{V(\mathbf{x})} u(\mathbf{y}).$$

Schéma semi-Lagrangien pour une distance Riemannienne

- ▶ Soit $\Omega \subseteq \mathbb{R}^d$ un domaine, échantillonné par X , et $M : \Omega \rightarrow S_d^{++}$ une métrique Riemannienne.
- ▶ Soit $V(\mathbf{x})$ un polytope ayant ses sommets dans X , et $I_{V(\mathbf{x})}$ l'interpolation linéaire. Posons

$$\Lambda u(\mathbf{x}) := \min_{\mathbf{y} \in V(\mathbf{x})} \|\mathbf{x} - \mathbf{y}\|_{M(\mathbf{x})} + I_{V(\mathbf{x})} u(\mathbf{y}).$$

Propriétés de l'opérateur Λ

- ▶ Monotonie: découle de celle de l'interpolation linéaire.
- ▶ (Sethian, 2003) Causalité équivalente à: pour tout $\mathbf{x} \in X$, pour tous sommets \mathbf{y}, \mathbf{z} d'une facette commune de $V(\mathbf{x})$

$$\langle \mathbf{z} - \mathbf{x}, \mathbf{y} - \mathbf{x} \rangle_{M(\mathbf{x})} \geq 0.$$

Reductions de Voronoi

Jean-Marie
Mirebeau

Réductions

La réduction
de Minkowski
L'algorithme
de Lagrange
L'algorithme
LLL

Seconde réduction

**Application
aux plus
courts
chemins**

Première réduction

Diffusion
anisotrope
Equation
eikonale

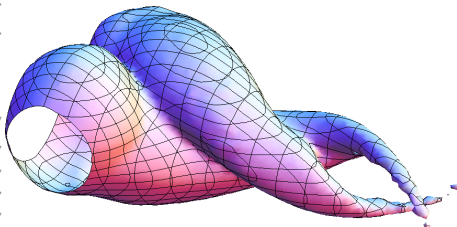
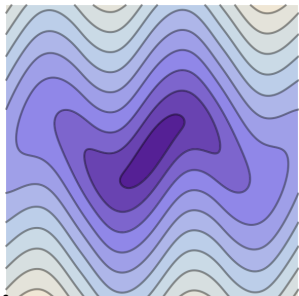


Figure: Ensembles de niveaux de distances Riemanniennes.

Reductions
de Voronoi

Jean-Marie
Mirebeau

Réductions

La réduction
de Minkowski
L'algorithme
de Lagrange
L'algorithme
LLL

Seconde
réduction

Application
aux plus
courts
chemins

Première
réduction

Diffusion
anisotrope
Equation
eikonale

Pourquoi réduire des formes quadratiques

La réduction de Minkowski

L'algorithme de Lagrange

L'algorithme LLL

La seconde réduction de Voronoi

Application aux plus courts chemins

La première réduction de Voronoi

Application à la diffusion anisotrope

Application aux équations eikonales

Formes quadratiques parfaites

- ▶ Voronoi introduit l'ensemble de formes quadratiques

$$K := \{Q \in S_d^{++}; \forall \mathbf{e} \in \mathbb{Z}^d, \|\mathbf{e}\|_Q \geq 1\}$$

Réductions

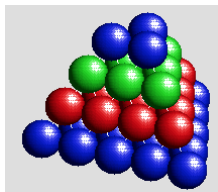
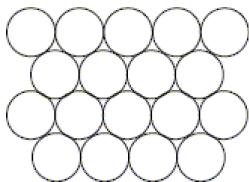
La réduction
de Minkowski
L'algorithme
de Lagrange
L'algorithme
LLL

Seconde réduction

Application
aux plus
courts
chemins

Première réduction

Diffusion
anisotrope
Equation
eikonale



Formes quadratiques parfaites

- ▶ Voronoi introduit l'ensemble de formes quadratiques

$$K := \{Q \in S_d^{++}; \forall \mathbf{e} \in \mathbb{Z}^d, \|\mathbf{e}\|_Q \geq 1\}$$

- ▶ K est un polytope convexe, en vertu de

$$\|\mathbf{e}\|_Q^2 = \mathbf{e}^T Q \mathbf{e} = \text{Tr}(Q \mathbf{e} \mathbf{e}^T).$$

Réductions

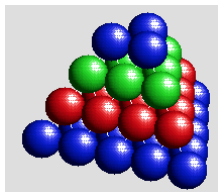
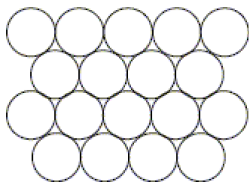
La réduction
de Minkowski
L'algorithme
de Lagrange
L'algorithme
LLL

Seconde réduction

Application
aux plus
courts
chemins

Première réduction

Diffusion
anisotrope
Equation
eikonale



Formes quadratiques parfaites

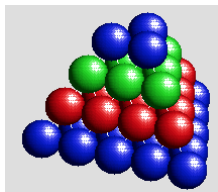
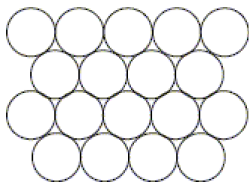
- ▶ Voronoi introduit l'ensemble de formes quadratiques

$$K := \{Q \in S_d^{++}; \forall \mathbf{e} \in \mathbb{Z}^d, \|\mathbf{e}\|_Q \geq 1\}$$

- ▶ K est un polytope convexe, en vertu de

$$\|\mathbf{e}\|_Q^2 = \mathbf{e}^T Q \mathbf{e} = \text{Tr}(Q \mathbf{e} \mathbf{e}^T).$$

- ▶ Les sommets de K sont appelés formes parfaites, et sont liés aux arrangements compacts de sphères.



Formes quadratiques parfaites

- ▶ Voronoi introduit l'ensemble de formes quadratiques

$$K := \{Q \in S_d^{++}; \forall \mathbf{e} \in \mathbb{Z}^d, \|\mathbf{e}\|_Q \geq 1\}$$

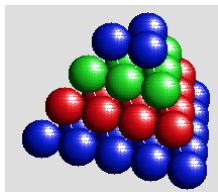
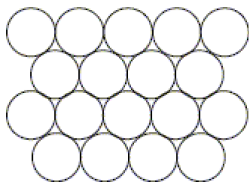
- ▶ K est un polytope convexe, en vertu de

$$\|\mathbf{e}\|_Q^2 = \mathbf{e}^T Q \mathbf{e} = \text{Tr}(Q \mathbf{e} \mathbf{e}^T).$$

- ▶ Les sommets de K sont appelés formes parfaites, et sont liés aux arrangements compacts de sphères.
- ▶ Pour tout $Q \in K$, les ellipsoïdes disjoints

$$(\mathbf{e} + \mathcal{E}_Q)_{\mathbf{e} \in \mathbb{Z}^d} \quad \text{où } \mathcal{E}_Q := \{\mathbf{p} \in \mathbb{R}^d; \|\mathbf{p}\|_Q \leq 1/2\},$$

occupent une portion $c_d(\det Q)^{-\frac{1}{2}}$ de l'espace.



Première réduction de Voronoi, de $M \in S_d^{++}$

C'est la forme parfaite

$$\operatorname{argmin}_{Q \in K} \operatorname{Tr}(QM).$$

Réductions

La réduction
de Minkowski
L'algorithme
de Lagrange
L'algorithme
LLL

Seconde réduction

Application
aux plus
courts
chemins

Première réduction

Diffusion
anisotrope
Equation
eikonale

Theorem (Voronoi, 1905)

En toute dimension d , ce problème d'optimisation linéaire est faisable (i.e. admet un ensemble compact de solutions). De plus il n'existe qu'un nombre fini de formes parfaites inéquivalentes.

Dimension	1	2	3	4	5	6	7	8	9
# Formes parfaites	1	1	1	2	3	7	33	10916	>500 000

Reductions de Voronoi

Jean-Marie Mirebeau

Réductions

La réduction de Minkowski
L'algorithme de Lagrange
L'algorithme LLL

Seconde réduction

Application aux plus courts chemins

Première réduction

Diffusion anisotrope
Equation eikonale

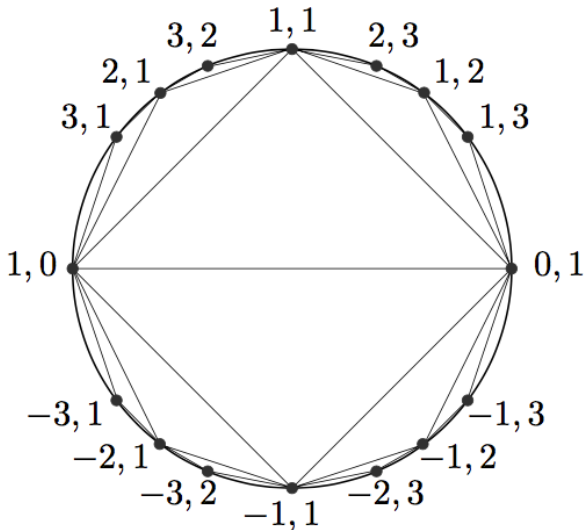


Figure: Partition du disque de Poincaré, $D \cong \{M \in S_2^{++}; \det M = 1\}$ induite par la première réduction de Voronoi. (Schurmann)

Relations de Kuhn et Tucker

- ▶ La première réduction est associée au programme linéaire

$$\min\{\langle\langle M, Q \rangle\rangle; \forall \mathbf{e} \in \mathbb{Z}^d, \langle\langle \mathbf{e} \otimes \mathbf{e}, Q \rangle\rangle \geq 1\}.$$

$$\text{où } \langle\langle D, M \rangle\rangle := \text{Tr}(DM), \text{ et } \mathbf{e} \otimes \mathbf{e} := \mathbf{e}\mathbf{e}^T.$$

Réductions

La réduction
de Minkowski
L'algorithme
de Lagrange
L'algorithme
LLL

Seconde réduction

Application
aux plus
courts
chemins

Première réduction

Diffusion
anisotrope
Equation
eikonale

Relations de Kuhn et Tucker

- ▶ La première réduction est associée au programme linéaire

$$\min\{\langle\langle M, Q \rangle\rangle; \forall \mathbf{e} \in \mathbb{Z}^d, \langle\langle \mathbf{e} \otimes \mathbf{e}, Q \rangle\rangle \geq 1\}.$$

où $\langle\langle D, M \rangle\rangle := \text{Tr}(DM)$, et $\mathbf{e} \otimes \mathbf{e} := \mathbf{e}\mathbf{e}^T$.

- ▶ Il existe donc une famille finie $(\lambda_i, \mathbf{e}_i)_{i \in I}$, avec $\lambda_i \geq 0$, $\mathbf{e}_i \in \mathbb{Z}^d$, et $\#(I) \leq d(d+1)/2$, tels que

$$M = \sum_{i \in I} \lambda_i \mathbf{e}_i \otimes \mathbf{e}_i.$$

Relations de Kuhn et Tucker

- ▶ La première réduction est associée au programme linéaire

$$\min\{\langle\langle M, Q \rangle\rangle; \forall \mathbf{e} \in \mathbb{Z}^d, \langle\langle \mathbf{e} \otimes \mathbf{e}, Q \rangle\rangle \geq 1\}.$$

où $\langle\langle D, M \rangle\rangle := \text{Tr}(DM)$, et $\mathbf{e} \otimes \mathbf{e} := \mathbf{e}\mathbf{e}^T$.

- ▶ Il existe donc une famille finie $(\lambda_i, \mathbf{e}_i)_{i \in I}$, avec $\lambda_i \geq 0$, $\mathbf{e}_i \in \mathbb{Z}^d$, et $\#(I) \leq d(d+1)/2$, tels que

$$M = \sum_{i \in I} \lambda_i \mathbf{e}_i \otimes \mathbf{e}_i.$$

- ▶ Cette décomposition s'apparente à la décomposition en vecteur propres/valeurs propres, mais
 - (i) le nombre de termes est $d(d+1)/2$ et non d .
 - (ii) les offsets \mathbf{e}_i sont à coordonnées entières.

Reductions
de Voronoi

Jean-Marie
Mirebeau

Réductions

La réduction
de Minkowski
L'algorithme
de Lagrange
L'algorithme
LLL

Seconde
réduction

Application
aux plus
courts
chemins

Première
réduction

**Diffusion
anisotrope**
Equation
eikonale

Pourquoi réduire des formes quadratiques

La réduction de Minkowski

L'algorithme de Lagrange

L'algorithme LLL

La seconde réduction de Voronoi

Application aux plus courts chemins

La première réduction de Voronoi

Application à la diffusion anisotrope

Application aux équations eikonales

- ▶ L'équation de diffusion anisotrope, avec tenseurs constants, s'écrit

$$\partial_t u(t, x) = \operatorname{div}(D(x)\nabla u(t, x))$$

- ▶ Elle s'interprète comme le flot gradient L^2 de l'énergie elliptique

$$\int \|\nabla u(\mathbf{x})\|_{D(\mathbf{x})}^2 d\mathbf{x}$$

- ▶ La décomposition $D = \sum_{i \in I} \lambda_i \mathbf{e}_i \otimes \mathbf{e}_i$ donne l'approximation au premier ordre

$$\|\nabla u(\mathbf{x})\|_D^2 \approx \sum_{i \in I} \lambda_i \frac{u(\mathbf{x} + \mathbf{e}_i) - u(\mathbf{x})^2 + (u(\mathbf{x} - \mathbf{e}_i) - u(\mathbf{x}))^2}{2}$$

Réductions
de Voronoi

Diffusion anisotrope: $\partial_t u = \operatorname{div}(D(u)\nabla u)$.

Jean-Marie
Mirebeau

Réductions

La réduction
de Minkowski
L'algorithme
de Lagrange
L'algorithme
LLL

Seconde
réduction

Application
aux plus
courts
chemins

Première
réduction

**Diffusion
anisotrope**
Equation
eikonale

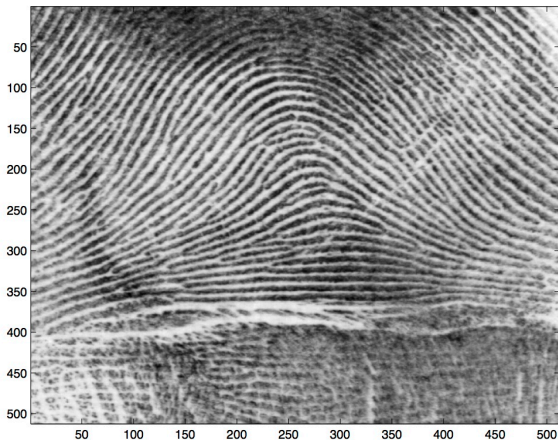
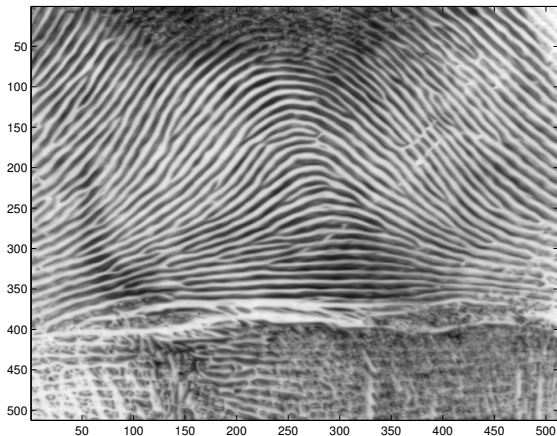


Figure: Effet de la diffusion par les tenseurs non-linéaires de Weickert

AD-LBR ; T=10



Réductions

La réduction
de Minkowski
L'algorithme
de Lagrange
L'algorithme
LLL

Seconde réduction

Application
aux plus
courts
chemins

Première réduction

**Diffusion
anisotrope**
Equation
eikonale

Figure: Effet de la diffusion par les tenseurs non-linéaires de Weickert

Reductions
de Voronoi

Diffusion anisotrope: $\partial_t u = \operatorname{div}(D(u)\nabla u)$.

Jean-Marie
Mirebeau

Réductions

La réduction
de Minkowski
L'algorithme
de Lagrange
L'algorithme
LLL

Seconde
réduction

Application
aux plus
courts
chemins

Première
réduction

**Diffusion
anisotrope**
Equation
eikonale

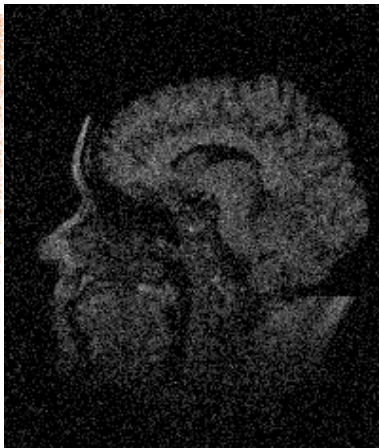
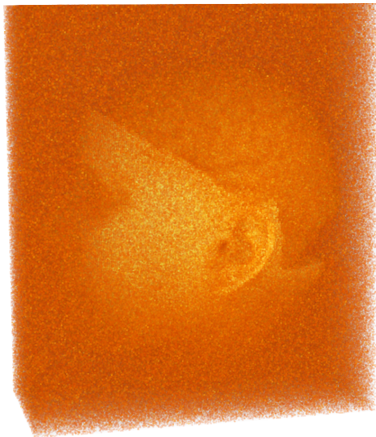


Figure: Effet de la diffusion par les tenseurs non-linéaires de Weickert

Reductions
de Voronoi

Diffusion anisotrope: $\partial_t u = \operatorname{div}(D(u)\nabla u)$.

Jean-Marie
Mirebeau

Réductions

La réduction
de Minkowski
L'algorithme
de Lagrange
L'algorithme
LLL

Seconde
réduction

Application
aux plus
courts
chemins

Première
réduction

**Diffusion
anisotrope**
Equation
eikonale

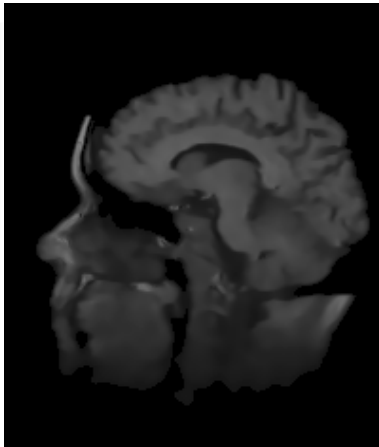
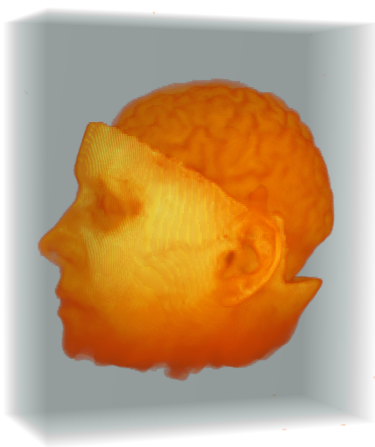


Figure: Effet de la diffusion par les tenseurs non-linéaires de Weickert

Reductions
de Voronoi

Jean-Marie
Mirebeau

Réductions

La réduction
de Minkowski
L'algorithme
de Lagrange
L'algorithme
LLL

Seconde
réduction

Application
aux plus
courts
chemins

Première
réduction

Diffusion
anisotrope
**Equation
eikonale**

Pourquoi réduire des formes quadratiques

La réduction de Minkowski

L'algorithme de Lagrange

L'algorithme LLL

La seconde réduction de Voronoi

Application aux plus courts chemins

La première réduction de Voronoi

Application à la diffusion anisotrope

Application aux équations eikonales

L'équation eikonale

C'est une EDP du premier ordre, de la forme

$$\mathcal{H}(\mathbf{x}, \nabla u(\mathbf{x})) = 1/2,$$

sur un domaine Ω , avec e.g. $u = 0$ sur $\partial\Omega$.

- ▶ Aussi appelée equation du Hamilton-Jacobi-Bellman statique du premier ordre.
- ▶ Caractérise les fonctions distances, et plus généralement des temps d'arrivée de fronts.

Exemples

- ▶ $\|\nabla u(\mathbf{x})\| = 1$ pour la distance Euclidienne à $\partial\Omega$.
- ▶ $\|\nabla u(\mathbf{x})\|_{M(\mathbf{x})^{-1}} = 1$ pour la distance Riemannienne.
- ▶ Pour la distance associée au Lagrangien \mathcal{L}

$$\mathcal{H}(\mathbf{x}, \hat{\mathbf{p}}) = \sup_{\dot{\mathbf{p}}} \langle \hat{\mathbf{p}}, \dot{\mathbf{p}} \rangle - \mathcal{L}(\mathbf{x}, \dot{\mathbf{p}}).$$

Discrétisation de l'équation eikonale

Cherchée sous la forme suivante, où X échantillonne Ω ,

$$H(\mathbf{x}, (u(\mathbf{x}) - u(\mathbf{y}))_{y \in X}) = 1/2.$$

- ▶ Monotone si H est croissante en les $u(\mathbf{x}) - u(\mathbf{y})$, $y \in X$.
- ▶ Causale si H ne dépend que des parties positives, $(u(\mathbf{x}) - u(\mathbf{y}))_+$, où $a_+ := \max\{a, 0\}$.
- ▶ Si ces deux conditions sont remplies, le système est résoluble en une passe par la programmation dynamique.

Le cas Riemannien

Etant donné $D = \sum_{i \in I} \lambda_i \mathbf{e}_i \otimes \mathbf{e}_i$, on a au premier ordre

$$\|\nabla u(\mathbf{x})\|_D^2 \approx \sum_{i \in I} \lambda_i \max\{0, u(\mathbf{x}) - u(\mathbf{x} - \mathbf{e}_i), u(\mathbf{x}) - u(\mathbf{x} + \mathbf{e}_i)\}^2.$$

Cette discrétisation est monotone et causale.

Pénalisation de la courbure d'un chemin

- ▶ On recherche des chemins minimaux pour des coûts

$$\int_0^L \alpha(\gamma(s)) \mathcal{C}(\kappa(s)) ds,$$

où $\gamma : [0, L] \rightarrow \mathbb{R}^2$ est paramétré à vitesse unité, et $\kappa : [0, L] \rightarrow \mathbb{R}$ est sa courbure.

- ▶ L'implémentation requiert un relèvement dans l'espace $\mathbb{M} := \mathbb{R}^2 \times \mathbb{S}^1$, dont les points sont notés $\mathbf{p} = (\mathbf{x}, \mathbf{n})$.
- ▶ Le chemin γ se relève en $\eta = (\gamma, \gamma')$, d'énergie

$$\int_0^L \mathcal{F}(\gamma(t), \gamma'(t)) dt$$

où

$$\mathcal{F}((\mathbf{x}, \mathbf{n}), (\dot{\mathbf{x}}, \dot{\mathbf{n}})) = \begin{cases} \alpha(\mathbf{x}) \mathcal{C}(|\dot{\mathbf{n}}|/|\dot{\mathbf{x}}|) |\dot{\mathbf{x}}| & \text{si } \dot{\mathbf{x}} = \|\dot{\mathbf{x}}\| \mathbf{n} \\ +\infty & \text{sinon.} \end{cases}$$

- ▶ Ceci correspond au Lagrangien $\mathcal{L} = \frac{1}{2} \mathcal{F}^2$.

Hamiltoniens de ces modèles

Let $\mathbf{p} = (\mathbf{x}, \mathbf{n}) \in \mathbb{M}$, and $\hat{\mathbf{p}} = (\hat{\mathbf{x}}, \hat{\mathbf{n}}) \in T_{\mathbf{p}}^*\mathbb{M}$.

- ▶ Reeds-Shepp sans marche arrière $\mathcal{C}(\kappa) = \sqrt{1 + \kappa^2}$

$$2\mathfrak{H}_1(\mathbf{p}, \hat{\mathbf{p}}) = \langle \mathbf{n}, \hat{\mathbf{x}} \rangle_+^2 + \|\hat{\mathbf{n}}\|^2$$

Hamiltoniens de ces modèles

Let $\mathbf{p} = (\mathbf{x}, \mathbf{n}) \in \mathbb{M}$, and $\hat{\mathbf{p}} = (\hat{\mathbf{x}}, \hat{\mathbf{n}}) \in T_{\mathbf{p}}^*\mathbb{M}$.

- ▶ Reeds-Shepp sans marche arrière $\mathcal{C}(\kappa) = \sqrt{1 + \kappa^2}$

$$2\mathfrak{H}_1(\mathbf{p}, \hat{\mathbf{p}}) = \langle \mathbf{n}, \hat{\mathbf{x}} \rangle_+^2 + \|\hat{\mathbf{n}}\|^2$$

- ▶ Dubins $\mathcal{C}(\kappa) = 1$ si $|\kappa| \leq 1$, $\mathcal{C}(\kappa) = \infty$ sinon.

$$2\mathfrak{H}_\infty(\mathbf{p}, \hat{\mathbf{p}}) = \max\{\langle (\mathbf{n}, 1), \hat{\mathbf{p}} \rangle_+^2, \langle (\mathbf{n}, -1), \hat{\mathbf{p}} \rangle_+^2\}.$$

Hamiltoniens de ces modèles

Let $\mathbf{p} = (\mathbf{x}, \mathbf{n}) \in \mathbb{M}$, and $\hat{\mathbf{p}} = (\hat{\mathbf{x}}, \hat{\mathbf{n}}) \in T_{\mathbf{p}}^*\mathbb{M}$.

- ▶ Reeds-Shepp sans marche arrière $\mathcal{C}(\kappa) = \sqrt{1 + \kappa^2}$

$$2\mathfrak{H}_1(\mathbf{p}, \hat{\mathbf{p}}) = \langle \mathbf{n}, \hat{\mathbf{x}} \rangle_+^2 + \|\hat{\mathbf{n}}\|^2$$

- ▶ Dubins $\mathcal{C}(\kappa) = 1$ si $|\kappa| \leq 1$, $\mathcal{C}(\kappa) = \infty$ sinon.

$$2\mathfrak{H}_\infty(\mathbf{p}, \hat{\mathbf{p}}) = \max\{\langle (\mathbf{n}, 1), \hat{\mathbf{p}} \rangle_+^2, \langle (\mathbf{n}, -1), \hat{\mathbf{p}} \rangle_+^2\}.$$

- ▶ Euler-Elastica $\mathcal{C}(\kappa) = 1 + \kappa^2$

$$\begin{aligned} 2\mathfrak{H}_2(\hat{\mathbf{p}}) &= \frac{1}{4} \left(\langle \mathbf{n}, \hat{\mathbf{x}} \rangle + \sqrt{\langle \mathbf{n}, \hat{\mathbf{x}} \rangle^2 + \|\hat{\mathbf{n}}\|^2} \right)^2 \\ &= \frac{1}{3} \int_{-\pi/2}^{\pi/2} \langle (\mathbf{n} \cos \varphi, \sin \varphi), \hat{\mathbf{x}} \rangle_+^2 \cos \varphi d\varphi \end{aligned}$$

Reductions de Voronoi

Jean-Marie Mirebeau

Réductions

La réduction de Minkowski
L'algorithme de Lagrange
L'algorithme LLL

Seconde réduction

Application aux plus courts chemins

Première réduction

Diffusion anisotrope
Equation eikonale

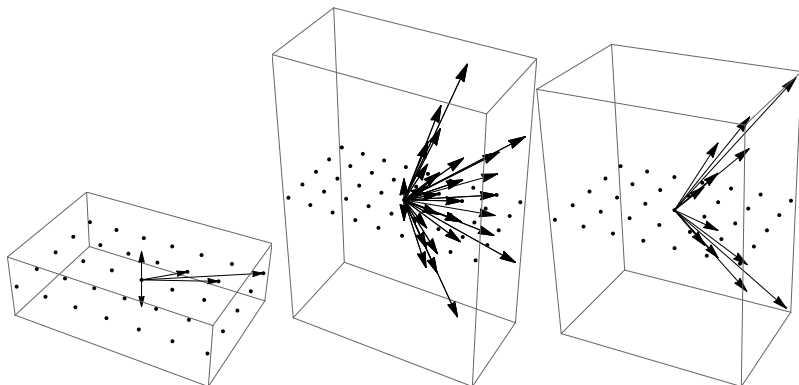


Figure: Stencils de discrétisation utilisés pour les modèles de Reeds-Shepp, Elastica, et Dubins.

Réductions
de Voronoi

Merci pour votre attention

Jean-Marie
Mirebeau

Réductions

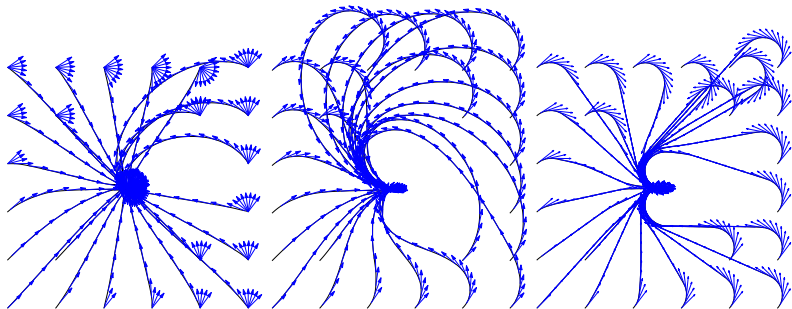
La réduction
de Minkowski
L'algorithmme
de Lagrange
L'algorithmme
LLL

Seconde
réduction

Application
aux plus
courts
chemins

Première
réduction

Diffusion
anisotrope
**Equation
eikonale**



Reeds-Shepp

Elastica

Dubins